

# ВПЛИВ СЕРЕДОВИЩА ДИСПЕРГУВАННЯ НА МОРФОЛОГІЮ ТА ЕЛЕМЕНТНИЙ СКЛАД СПЛАВУ ГЕЙСЛЕРА Cu-Mn-Al

М. В. Геркалюк<sup>1</sup>, А. В. Гільчук<sup>1</sup>, А. О. Перекос<sup>2</sup>

<sup>1</sup>Національний технічний університет України «Київський політехнічний Інститут»

<sup>2</sup>Інститут металофізики ім. Г. В. Курдюмова НАН України

## Анотація

Досліджено високодисперсні порошки (ВДП) сплаву Гейслера Cu-13,1Mn-12,6Al (ваг. %) після електроерозійного диспергування в середовищах дистильованої води та етанолу. Методом растрової електронної мікроскопії досліджено особливості морфології і мікроструктури ВДП. Рентгенівським методом виявлено впорядковану фазу  $Cu_2MnAl$ , яка вплинула на властивості ВДП. Елементний склад вихідних порошків було вивчено методом рентгенівського мікроаналізу з розподілом по енергіям.

**Ключові слова:** електроерозійне диспергування, Сплав Гейслера, високодисперсні порошки, морфологія, елементний склад, структура.

## Вступ

Функціональні сплави на основі Cu-Mn-Al представляють значний інтерес, як із фундаментальної так і практичної точкою зору. В сплаві Cu-Mn-Al Гейслером вперше було відкрито явище магнітострикції та відкриті ферромагнітні властивості, незважаючи на те, що жодна з компонент сплаву не є феромагнітною [1]. Також даний сплав володіє рядом інших властивостей, таких як ефект пам'яті форми (в деяких концентраційних межах) [2], гіантський магнтоопір [3, 4], магнітокерований ЕПФ [5]. Також сплави Гейслера демонструють магнітокалоричний ефект [6], але досліджені для сплавів на основі Cu-Mn-Al проведено не було. В основному отримання готових виробів пов'язано з рядом технологічних складностей – матеріали не прості в плані обробки. Це спонукає до пошуку нових нетрадиційних підходів і технологічних прийомів в отриманні, обробці та виготовленні виробів з матеріалів на основі сплавів Гейслера. До таких відносяться методи порошкової металургії. Механічні властивості даного сплаву в литому стані не дозволяють використовувати його як матеріал для виготовлення готових виробів, матеріал руйнується при прикладенні навантаження на деформацію 2 – 7%, а циклічне прикладення навантаження призводить до руйнування зразка після 10 циклів [2]. Це пов'язано із виділенням інтерметалічної фази  $\gamma$ -Cu-Mn-Al, тому застосування нерівноважних методів диспергування матеріалу з подальшою їх консолідацією використовується для покращення механічних властивостей. Серед методів одержання матеріалів з рафінованою субструктурою особливою уваги заслуговує метод електроерозійного диспергування. Метод дозволяє отримувати сферичночі частинки матеріалу з розмірами від декількох нанометрів до декількох десятків мікрон [7]. Сплав системи Cu-Mn-Al являється сплавом з обмеженою

взаємною розчинністю компонентів, і неодноразово досліджувався в литому стані. Установлено що ці сплави являються багатофазними, які суттєво залежать від хімічного складу. В багатій міддо частині діаграми станів цієї системи (до 14 ваг.% Al і 15 ваг.% Mn) присутні наступні кристалічні фази:  $\alpha$  – твердий розчин Al і Mn в Cu;  $\beta$  – твердий розчин на основі  $\beta$ -фази бінарної системи Cu-Al;  $\gamma$  – твердий розчин на основі  $\gamma$ -фази ( $Cu_9Al_4$ ) бінарної системи Cu-Al [8]. Відомо також, що сплави Cu-Mn-Al в температурно-концентраційному інтервалі, розпадаються на двохфазну суміш  $Cu_3Al$  –  $Cu_2MnAl$ . В сплаві з концентрацією Mn, меншою 12 ваг.%, співіснують немагнітна фаза  $Cu_3Al$  і наночастинки ферромагнітної упорядкованої фази  $Cu_2MnAl$ , температура Кюрі якої дорівнює 633 K [9]. Натомість досліджені даного матеріалу отриманого нетрадиційними методами було проведено в недостатній кількості. В роботі [10] було досліджено ВДП системи Cu-Mn-Al отримані електроерозійним методом в різних середовищах (води, етанол, гас) та було виявлено напівпровідниковий характер електропровідності, що не зникав навіть після відпалів у відновній атмосфері, а також зниження намагніченості в залежності від середовища диспергування. Наразі відсутні недостача в кількості експериментальних досліджень морфології, структури та елементного складу. Враховуючи вищепеределені факти, дослідження матеріалів на основі Cu-Mn-Al після електроерозійного диспергування є перспективними.

## 1. Матеріали та методи дослідження

Об'єктами досліджень в даній роботі були високодисперсні порошки Cu-13,1 Mn-12,6Al (ваг. %). Шихту для виплавки сплавів готували із електролітичних міді (чистота 99,99%), марганцю (99,7%) та алюмінію (99,95%). Зливки виплавляли індукцій-

ним методом в атмосфері аргону. Високодисперсні порошки отримували методом електроіскового диспергування [10] в дистильованій воді та етиловому спирту. Після закінчення процесу диспергування частинки порошку осаджували в робочій рідині та висушували при кімнатній температурі на повітрі. Відпал порошків здійснювали наступним чином: порошки сплаву Cu-13,1Mn-12,6Al спочатку відпаливали при 1073 К протягом 30 хвилин в аргоні після чого відпал продовжували в газоподібній суміші аргону з воднем. Рентгеноструктурний аналіз був проведений на попередньому етапі дослідження [11] з використанням рентгенівського дифрактометра ДРОН-3.0 з кобальтовим анодом. Рентгенівський фазовий аналіз проводили за відношенням максимальних інтенсивностей ліній відповідних кристалічних фаз на дифрактограмах. Розміри областей когерентного розсіювання (ОКР) розраховували за формулою Селякова-Шерера [12]. Дослідження морфологічних і мікроструктурних особливостей електроерозійних порошків здійснювались на пристаді JAMP-9500F (Jeol, Японія), обладнаний енергодисперційним спектрометром INCA PentaFETx3 (Oxford Instruments, Великобританія). Для отримання електронних мікрофотографій високої якості використовували наступні параметри: струм електронного зонду –  $(0,5 - 1) \cdot 10^{-9}$  А, прискорюючи напруга 30 кеВ. Дослідження локальних хімічних неоднорідностей в диспергованих сплавах проводилось на тому самому пристаді, що і растрова електронна мікроскопія, методом рентгенівського мікроаналізу з дисперсією по енергіям.

## 2. Результати досліджень та їх обговорення

Результати електронно-мікроскопічних досліджень ВДП сплаву Cu-13,1 Mn-12,6Al (ваг. %), отриманих методом електроерозійного диспергування в різних середовищах представлені на рис. 1. На електронно-мікроскопічних знімках гарно видно, що ВДП представляють собою конгломерати наночастинок з частинками субмікронного і мікронного розмірів. Відомо, що нанорозмірні частинки утворюються конденсацією випарів сплаву в той час як мікронні частинки утворюються загартуванням з рідкої фази. Для порошків, диспергованих у воді, характерний розмір конгломератів складав 10-200 мкм, в той час як для порошку, диспергованого в етанолі, характерні розміри агломератів складали сотні мікрон. Різний рівень контрасту на мікроелектронних фотографіях дозволяє зробити висновок, що нанофракція складається з переважно з оксидів, на відміну від мікронних і субмікронних частинок. Наявність оксидів підтверджується і іншими методами. Всередині конгломератів з нанофракції для порошків, одержаних у воді, знаходилися сферичні металічні частинки розмірами 0,2-10 мкм. Кількість сферичних частинок з розмірами в декілька десятків мікрон була набагато більшою у випадку порошків, одержаних у етанолі (рис. 1).

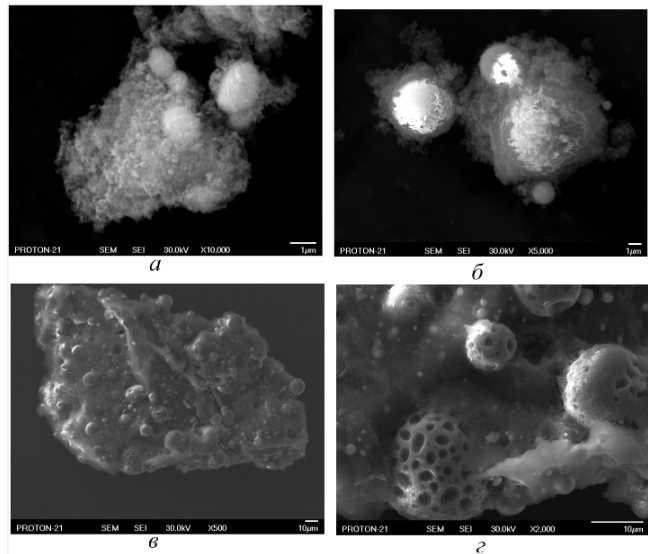


Рис. 1. Мікроструктура конгломератів порошка сплаву Cu-13,1 Mn-12,6Al (ваг. %), отриманого методом електроерозійного диспергування у воді (а,б) та у етанолі (в,г)

Цікавою є морфологія частинок мікронного розміру порошку отриманого в етанолі (рис. 1 в). Така явно виражена морфологія може бути пов'язана з розчинністю етанолу в матеріалі сплаву. Результати рентгеноструктурного і фазового аналізу порошків подані на рис. 2 та у табл. 1 та у табл. 2. Ці результати свідчать про те, що фазовий склад порошків, отриманих в різних середовищах, має деякі відмінності. Так в порошках, отриманих в етанолі присутні тільки 2 кристалічні фази: твердий розчин на основі міді  $\alpha$ -Cu-Mn-Al та впорядкована по типу L<sub>2</sub><sub>1</sub> фаза Cu<sub>2</sub>MnAl, яка згідно [13], являється феромагнітною, в той час як порошок, отриманий у воді, крім цих фаз містить ГЦК-твірдий розчин на основі міді  $\gamma$ -Cu-Mn-Al, чисту мідь та оксиди міді Cu<sub>2</sub>O і марганцю MnO. Відомо [14], що відмінності фазового складу порошків, отриманих в різних середовищах, обумовлені впливом робочого середовища, атоми і молекули якого, переходячи в пару плазмовий стан при іскровому розряді, активно взаємодіє з атомами металів.

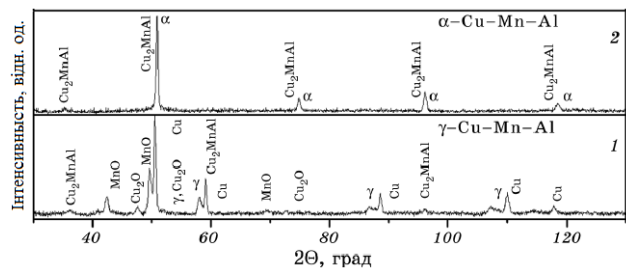


Рис. 2. Дифракторограми порошків сплаву Cu-13,1 Mn-12,6Al (ваг. %) отриманих в дистильованій воді (1) та етанолі (2).

Дисперсність порошків також залежить від використовуваної рідини. Це добре видно із результатів, отриманих рентгенівським методом і наведеними в табл. 1 [10]. Так, розміри областей когерентного

Табл. 1. Фазовий склад і розмір ОКР (D) у ВДП Cu-13,1 Mn-12,6Al (ваг. %) Al отриманих у воді та етанолі.

Середовище	Фазовий склад	Вміст фаз, %	D, нм
Вода	$\gamma$ -Cu-Mn-Al	34	20
	Cu	32	60
	Cu <sub>2</sub> MnAl	14	10-30
	Cu <sub>2</sub> O	14	20
	MnO	6	30
Етанол	Cu <sub>2</sub> MnAl	25	20
	$\alpha$ -Cu-Mn-Al	75	120

Табл. 2. Параметри граток деяких кристалічних фаз в ВДП після диспергування у різних середовищах.

Фаза, середовище	a, нм (експеримент)	a, нм (табл. знач.) [8]
Cu <sub>2</sub> MnAl, вода	5,890	5,949
$\gamma$ -Cu-Mn-Al, вода	3,685	3,616
Cu <sub>2</sub> MnAl, етанол	5,890	5,849

розсіяння (ОКР) фазових складових  $\gamma$ -Cu-Mn-Al, Cu, Cu<sub>2</sub>O, MnO порошка отриманого у воді, знаходяться в інтервалі 20-60 нм, що приблизно в двоє менше, ніж розміри ОКР фази  $\alpha$ -Cu-Mn-Al в порошках отриманих в етанолі (120-130 нм). Проте це не стосується феромагнітної фази Cu<sub>2</sub>MnAl, розміри ОКР якої у всіх порошках, отриманих у різних середовищах, близькі за розмірами і лежать в інтервалі 10 – 30 нм.

Варто звернути увагу на присутність в порошках двох фазових складових на основі міді:  $\alpha$ -Cu-Mn-Al з ОЦК-структурою і  $\gamma$ -Cu-Mn-Al з ГЦК-структурою. Ці кристалічні фази являються високотемпературними невпорядкованими модифікаціями сплавів Гейслера Cu-Mn-Al [8], які при охолодженні переходят в упорядковану кристалічну фазу Cu<sub>2</sub>MnAl. Присутність цих фаз в порошках при кімнатній температурі можна пояснити надшвидкими швидкостями охолодження ( $10^6$  –  $10^9$  К/с), характерними для методу електроерозійного диспергування [14]. Слід підкреслити, що кількість феромагнітної фази Cu<sub>2</sub>MnAl у порошках відрізняється і складає 14% для порошків, диспергованих у воді та 25% – в етанолі. В табл. 2 приведені результати розрахунку параметрів гратки для деяких кристалічних фаз в порошках. В більшості випадків (крім  $\gamma$ -Cu-Mn-Al) параметри гратки сплаву в порошках менше табличних значень для литого сплаву того ж складу [8], що може бути обумовлено перерозподілом атомів Mn та Al в  $\gamma$ -твірдому розчині при їх виготовленні електроерозійним методом порівняні з рівноважним станом цього сплаву [10].

Спостережені зміни фазового складу після приготування порошків у різних середовищах відобразилися на їх магнітних та електротранспортних властивостях що показано в [10]. В порошках диспергованих у воді і етанолі у 4 рази зменшилась намагніченість насичення а характер температурної

залежності електричного опору змінився на напівпровідниковий. Дане явище можна пояснити появою оксидних оболочок на поверхнях частинок. Про існування оксидів в порошках свідчать результати рентгеноструктурного аналізу (табл. 1). При проведенні рентгенівського мікроаналізу з розподілом по енергіям було виявлено наявність кисню в мікронних частинках, а також, в особливо великій кількості, в конгломератах наночастинок (рис. 3).

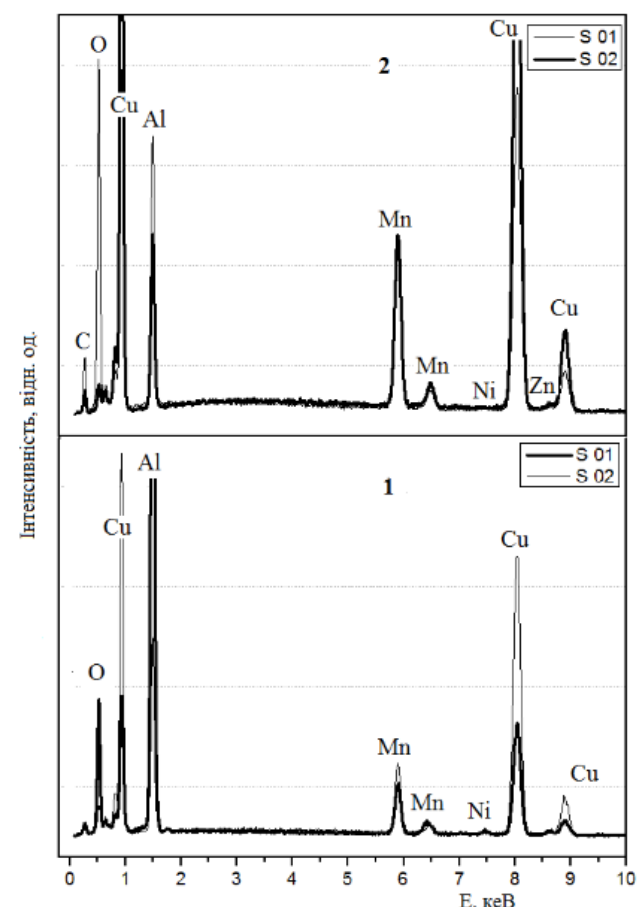


Рис. 3. Елементний склад ВДП Cu-13,1 Mn-12,6Al (ваг. %) диспергованих у воді (1, s01 відповідає нанофазі, s02 – мікронній) та етанолі (2, s01 відповідає мікронній фазі, s02 – нанофазі).

Точний кількісний аналіз елементного складу частинок нанометрового розміру методом рентгенівського мікроаналізу вимагає окремих підходів. Проте на рис. 3 якісно видно, що у порошках, диспергованих у етанолі більша кількість вуглецю у порівнянні з порошками диспергованими у воді. Це пов'язано знову-таки з особливостями взаємодії матеріалу сплаву з середовищем диспергування. Цікавим моментом, що потребує додаткової перевірки, є підвищена кількість алюмінію (імовірно в окисненому стані), у нанофракції. Цей факт може пояснити чому після відпалів порошків у відновній атмосфері у них не зникли напівпровідникові властивості, оскільки згідно з діаграмою Елінгема, при даних температурах оксид алюмінію воднем не відновлюється [15]. Підвищена кількість алюмінію у нанофракції може бути пов'язана

на з вищою концентрацією насиченої пари алюмінію в порівнянні з іншими компонентами сплаву.

## Висновки

Методом електроерозійного диспергування у воді і етанолі було отримано високодисперсні порошки сплаву Гейслера Cu-13,1Mn-12,6Al (ваг. %) Методом растрової електронної мікроскопії встановлено, що порошки складались з конгломератів нанофракції оксидів і металічних субмікронних частинок сферичної форми. Розмір конгломератів, для порошків, одержаних у воді складав 10-200 мкм, в етанолі – сотні мікрон. Розмір сферичних металевих частинок складав 0,2 – 20 мкм. Для металевих частинок, одержаних у етанолі, характерний більший розмір ніж для частинок, одержаних у воді. Металеві частинки порошку одержаного у етанолі мають розвинуту морфологію поверхні, що, імовірно, пов’язано з розчинністю етанолу у розплаві. Методом рентгеноструктурного аналізу було визначено фазовий склад порошків та визначено параметри граток. В порошках, отриманих в етанолі присутні тільки 2 кристалічні фази: твердий розчин на основі міді  $\alpha$ -Cu-Mn-Al та впорядкована по типу L<sub>2</sub> фаза Cu<sub>2</sub>MnAl, яка являється феромагнітною, в той час як порошок, отриманий у воді, крім цих фаз містить ГЦК-твердий розчин на основі міді  $\gamma$ -Cu-Mn-Al, чисту мідь та оксиди міді Cu<sub>2</sub>O і марганцову MnO. Так, розміри ОКР фазових складових  $\gamma$ -Cu-Mn-Al, Cu, Cu<sub>2</sub>O, MnO порошка отриманого у воді, знаходяться в інтервалі 20-60 нм, що приблизно в двоє менше, ніж розміри ОКР фази  $\alpha$ -Cu-Mn-Al в порошках отриманих в етанолі (120-130 нм). Проте це не стосується феромагнітної фази Cu<sub>2</sub>MnAl, розміри ОКР якої у всіх порошках, отриманих у різних середовищах, близькі за розмірами і лежать в інтервалі 10-30 нм. Кількість феромагнітної фази Cu<sub>2</sub>MnAl у порошках відрізняється і складає 14% для порошків, диспергованих у воді та 25% – в етанолі. Методом рентгенівського мікроаналізу з дисперсією по енергіям було проведено якісний елементний аналіз порошків. Виявлено, що нанофракція забагачена оксидом алюмінію в порівнянні з металевими частинками мікронного розміру, що імовірно пов’язано з більшою концентрацією насиченої пари алюмінію порівняно з іншими елементами сплаву. Велика кількість оксиду алюмінію пояснює як напівпровідникові властивості цих порошків, так і те чому ці властивості не зникають при

відпалі у відновній атмосфері суміші аргону і водню. Порошки, одержані в етанолі, містять більшу кількість вуглецю та кисню в порівнянні з порошками, одержаними у воді, що пояснюється особливостями взаємодії розплаву і середовища.

## Перелік використаних джерел

1. Heusler F. Über magnetische Manganlegierungen — Verhandlungen der Deutschen Physikalischen Gesellschaft (German). — 1903. — No 5.
2. Y. Sutou, T. Omori, R. Kainuma, K. Ishida — Materials Science and Technology. — 2008. — vol. 24, No. 8. — pp. 896–901.
3. J. Marcos, A. Planes, L. Manosa, A. Labarta, B. J. Hattink — IEEE Transactions on Magnetics. — July 2001. — vol. 37, No. 4. — pp. 2712–2714.
4. А. Ферт — Успехи физических наук. — 2008. — 178, No 12:1336 .
5. Merivan Sasmaz, Ali Bayri, Yildirim Aydogdu — Springer Science. — 2010. — LLC.
6. В. А. Лободюк, Э. И. Эстрин Мартенситные превращения. — М. : Физматлит, 2009. — 352 с.
7. A. E. Berkowitz — Journal of Magnetism and Magnetic Materials. — 2003. — vol. 1. — pp. 254–255.
8. С. В. Шухардин Двойные и многокомпонентные системы на основе меди. — М. :Наука. — 1979. — 247 с.
9. С. М. Коноплюк, В. В. Кокорин, А. Е. Перекос, В. М. Надутов — Металлофиз. новейшие технологии.. — July 2010. — vol. 32, No. 10.— pp. 571–580.
10. В. М. Надутов, А. Е. Перекос, В. В. Кокорин, С. М. Коноплюк, Т. В. Ефимова, В. П. Залузкий — Металлофиз. новейшие технологии.. — 2014. — vol. 36, No. 12.— pp. 1679–1694.
11. К. В. Чуистов, А. П. Шпак, А. Е. Перекос — Успехи физики металлов. — 2003. — vol. 4, No. 4:235.
12. С. С. Горелик, Ю. А. Скаков, Л. Н. Растворгувев Рентгенографический и электронноспектрический анализ. — Москва: Миссис: 1994. — 430 с.
13. M. Bouchard and G. Thomas — Acta Metall.. — 1975. — vol. 23, No. 12:1485.
14. К. В. Чуистов, А. Е. Перекос — Металлофиз. новейшие технологии.. — 1997. — vol. 19, No. 1:36.
15. Ellingem H. J. T. — J. Soc. Chem. Ind. — 1944. — vol. 63, No. 12.